

Type range	T31F	200*	400	600	800	900	1000	1100	1200	1300*
<b>Elektrische Eigenschaften</b>	<b>Electrical properties</b>									
<b>Höchstzulässige Werte</b>	<b>Maximum permissible values</b>									
$U_{DRM}$ , $U_{RRM}$ Periodische Vorwärts- und Rückwärts-Spitzen-Sperrspannung	repetitive peak forward off-state and reverse voltages								200...1300	V
$I_{TRMSM}$ Effektiver Durchlaßstrom	RMS on-state current								60	A
$I_{TAVM}$ Dauergrenzstrom	average on-state current								31	A
$I_{TSM}$ Stoßstrom-Grenzwert	surge current								38	A
$\int i^2 dt$ Grenzlastintegral	$\int i^2 dt$ -value								1200	A
$(di/dt)_{cr}$ Kritische Stromsteilheit	critical rate of rise of on-state current								1000	A
$(du/dt)_{cr}$ Kritische Spannungssteilheit	critical rate of rise of off-state voltage								7200	A <sup>2</sup> s
									5000	A <sup>2</sup> s
									600	A/ $\mu$ s
									120	A/ $\mu$ s
									$U_D = 10V, I_G = 0,75A, di_G/dt = 0,75A/\mu s$	
									$U_D = 67\% U_{DRM}, t_{vj} = t_{vj \max}$	
									1)	
									2)	
									B:	50
									C*:	400
									L:	400
									M*:	1000
										V/ $\mu$ s
										V/ $\mu$ s
										V/ $\mu$ s
										V/ $\mu$ s
<b>Charakteristische Werte</b>	<b>Characteristic values</b>									
$U_T$ Obere Durchlaßspannung	max. on-state voltage								2,1	V
$U_{(TO)}$ Schleusenspannung	threshold voltage								1,35	V
$r_T$ Ersatzwiderstand	slope resistance								6,1	mΩ
$U_{GT}$ Obere Zündspannung	max. gate trigger voltage								1,4	V
$I_{GT}$ Oberer Zündstrom	max. gate trigger current								150	mA
Unterer Zündstrom	min. gate trigger current								5	mA
$I_H$ Oberer Haltestrom	max. holding current								250	mA
$I_L$ Oberer Einraststrom	max. latching current								1	A
$I_D, I_R$ Oberer Vorwärts- und Rückwärts-Sperrstrom	max. forward off-state and reverse currents								20	mA
$t_{gd}$ Oberer Zündverzug	max. gate controlled delay time								4,5	$\mu$ s
$t_q$ Obere Freiwerdezeit	max. circuit commutated turn-off time								15	$\mu$ s <sup>3)</sup>
									E:	20
									F:	25
									G:	30
										$\mu$ s
$Q_s$ Obere Nachlauffladung	max. lag charge								39	$\mu$ As
$C_{null}$ Typische Nullkapazität	typ. zero capacitance								1,2	nF
<b>Thermische Eigenschaften</b>	<b>Thermal properties</b>									
$R_{ihc}$ Innerer Wärmewiderstand	thermal resistance, junction to case								$\leq 0,72$	°C/W
$t_{vj \max}$ Höchstzul. Sperrsichttemperatur	max. junction temperature								$\leq 0,705$	°C/W
Betriebstemperatur	operating temperature								125	°C
Lagertemperatur	storage temperature								-40	°C...+125°C
									-40	°C...+150°C
<b>Mechanische Eigenschaften</b>	<b>Mechanical properties</b>									
Si-Element mit Druckkontakt	Si-pellet with pressure contact									
$G$ Gewicht	weight								60	g
$M$ Anzugsdrehmoment	tightening torque								8	Nm
Kriechstrecke	creepage distance								6	mm
Maßbild	outline						DIN 41892-203 B3		Seite/page	255

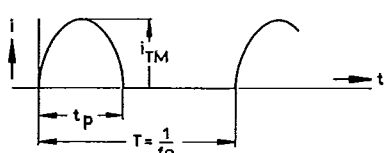
\* Für größere Stückzahlen bitte Liefertermin erfragen/Delivery for larger quantities on request  
 1) Werte nach DIN 41787 (ohne vorausgehende Kommutierung)/Values to DIN 41787 (without prior commutation)  
 2) Unmittelbar nach der Freiwerdezeit/Immediately after turn-off time  
 3)  $U_{DRM} \leq 800$  V

T31F A E G CORP

81 DE 0029426 0005805 5

## Bilder 1, 2, 3

Höchstzulässige Strombelastbarkeit in Abhängigkeit von der Halbschwingungsdauer bei:  
 sinusförmigem Stromverlauf,  
 der angegebenen Gehäusetemperatur  $t_c$ ,  
 Vorwärts-Sperrspannung  $U_{DM} \leq 0,67 U_{DRM}$ ,  
 Spannungssteilheit  $du_0/dt$  gemäß 5. Kennbuchstaben,  
 Rückwärts-Sperrspannung  $U_{RM} \leq 50$  V,  
 Rückwärts-Spannungssteilheit  $du_R/dt \leq 100$  V/ $\mu$ s  
 oder Betrieb mit antiparalleler schneller Diode,  
 Freiwerdezeit  $t_q$  gemäß 4. Kennbuchstaben,  
 Steuergenerator:  $U_L = 10$  V,  $i_g = 0,75$  A,  $t_a = 1$   $\mu$ s,  
 RC-Glied:  $R [\Omega] \geq 0,033 U_{DM}$  [V],  $C \leq 0,1$   $\mu$ F



Parameter: Wiederholfrequenz  $f_0$  [kHz]  
 Repetition rate  $f_0$  [kHz]

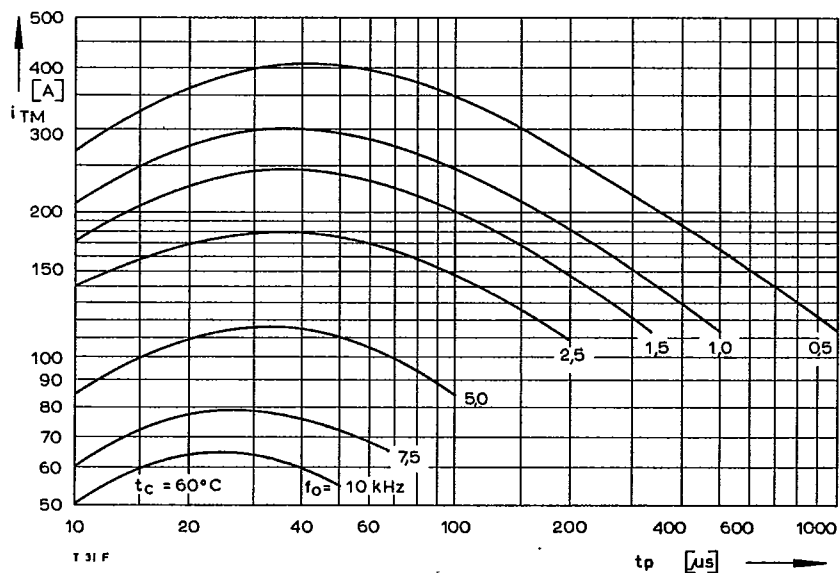
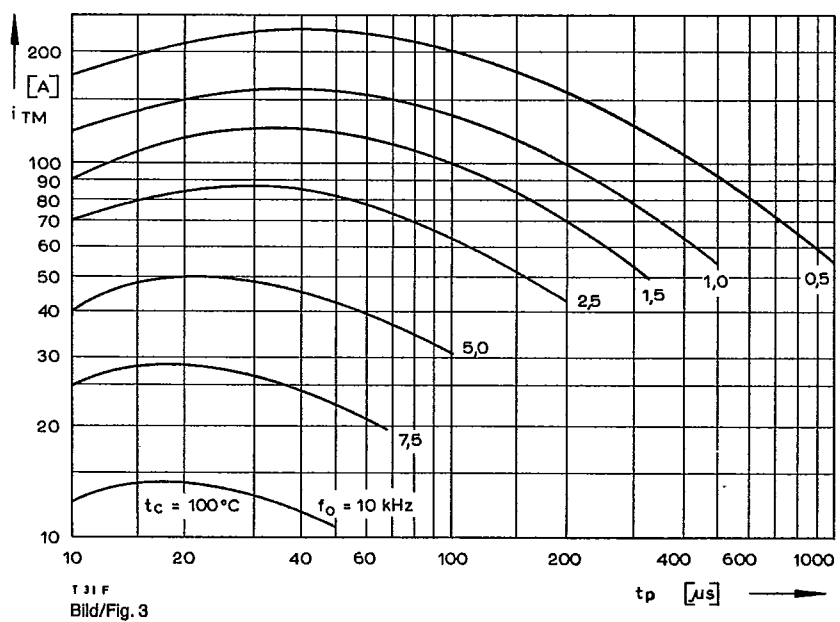
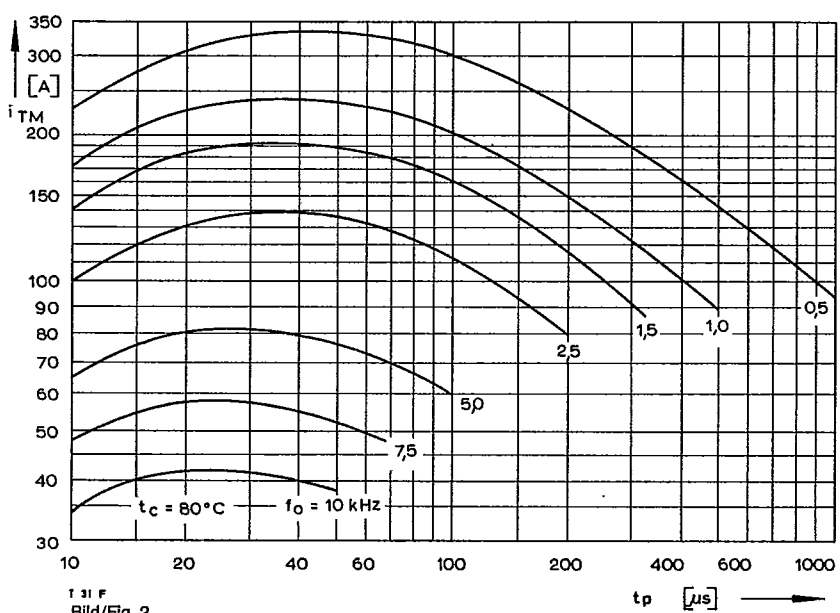


Fig. 1, 2, 3

Maximum allowable current load versus halfwave duration at:  
 sinusoidal current waveform,  
 given case temperature  $t_c$ ,  
 forward off-state voltage  $U_{DM} \leq 0,67 U_{DRM}$ ,  
 rate of rise of forward voltage  $du_0/dt$  according to 5th code letter,  
 reverse voltage  $U_{RM} \leq 50$  V,  
 rate of rise of reverse voltage  $du_R/dt \leq 100$  V/ $\mu$ s  
 or operation with inverse paralleled fast diode,  
 circuit commutated turn-off time  $t_q$  according to 4th code letter,  
 pulse generator:  $U_L = 10$  V,  $i_g = 0,75$  A,  $t_a = 1$   $\mu$ s,  
 RC network:  $R [\Omega] \geq 0,033 U_{DM}$  [V],  $C \leq 0,1$   $\mu$ F



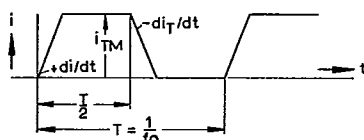
Bilder 4, 5, 6  
Höchstzulässige Strombelastbarkeit in Abhängigkeit von der Stromsteilheit bei:  
trapezförmigem Stromverlauf,  
der angegebenen Gehäusetemperatur  $t_c$ ,  
Vorwärts-Sperrspannung  $U_{DM} \leq 0,67 U_{DRM}$ ,  
Freiwerdezeit  $t_q$  gemäß 4. Kennbuchstaben,  
Spannungssteilheit  $du_R/dt$  gemäß 5. Kennbuchstaben,  
Steuergenerator:  $U_L = 10 \text{ V}$ ,  $i_G = 0,75 \text{ A}$ ,  $t_a = 1 \mu\text{s}$ ,  
RC-Glied:  $R [\Omega] \geq 0,033 U_{DM} [\text{V}]$ ,  $C \leq 0,15 \mu\text{F}$

## Ausschaltverlustleistung:

- nicht berücksichtigt. Die Kurven gelten für den Betrieb mit antiparalleler schneller Diode oder  $du_R/dt \leq 100 \text{ V}/\mu\text{s}$  bei Anstieg auf  $U_{RM} \leq 50 \text{ V}$ .
- berücksichtigt für  $du_R/dt = 400 \text{ V}/\mu\text{s}$  bei Anstieg auf  $U_{RM} = 0,67 U_{RRM}$ .

## Anmerkung:

- Für den Betrieb im kurzgestrichelten Bereich der Kurven wird die Verwendung zusätzlicher Beschaltungsglieder empfohlen.



Parameter: Wiederholfrequenz  $f_0$  [kHz]  
Repetition rate  $f_0$  [kHz]

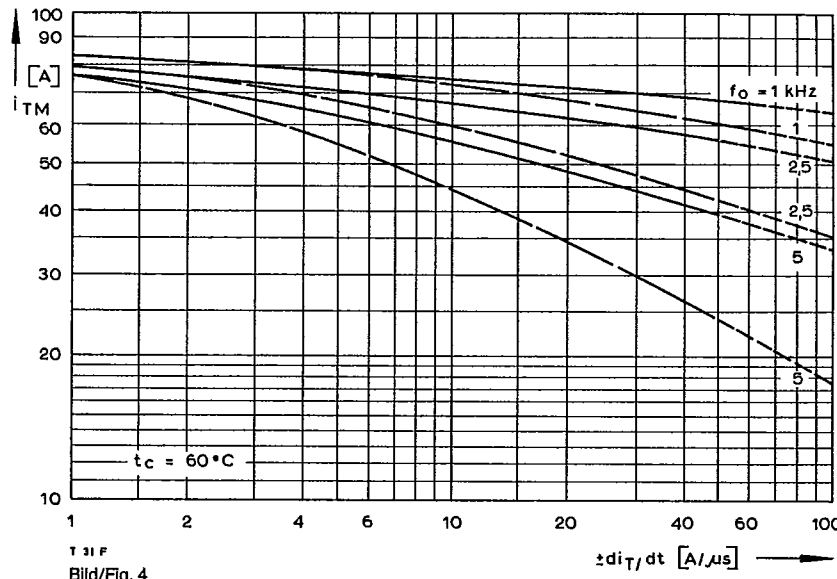
Fig. 4, 5, 6  
Maximum allowable current load versus rate of rise of current at:  
trapezoidal current waveform,  
given case temperature  $t_c$ ,  
forward off-state voltage  $U_{DM} \leq 0,67 U_{DRM}$ ,  
circuit commutated turn-off time  $t_q$  according to 4th code letter,  
rate of rise of voltage  $du_R/dt$  according to 5th code letter,  
pulse generator:  $U_L = 10 \text{ V}$ ,  $i_G = 0,75 \text{ A}$ ,  $t_a = 1 \mu\text{s}$ ,  
RC network:  $R [\Omega] \geq 0,033 U_{DM} [\text{V}]$ ,  $C \leq 0,15 \mu\text{F}$

## Turn-off power loss:

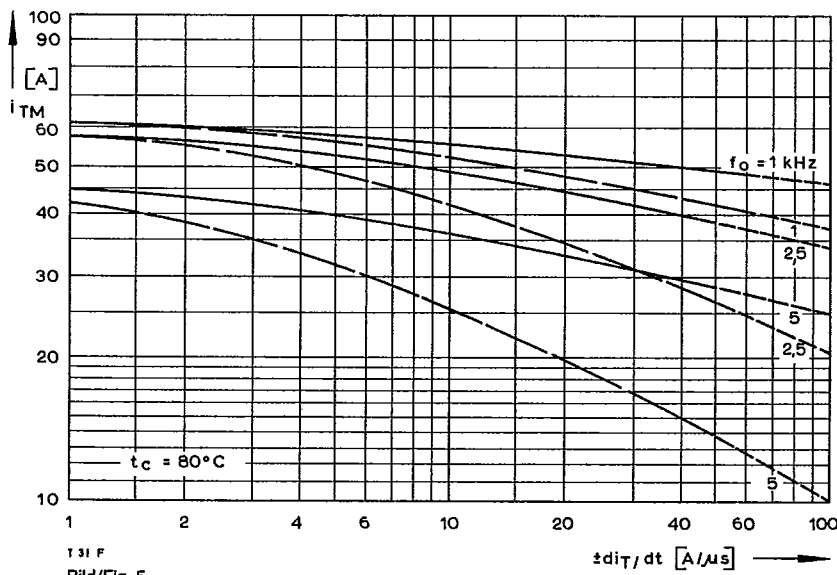
- not taken into account. The curves apply for operation with inverse paralleled fast diode or  $du_R/dt \leq 100 \text{ V}/\mu\text{s}$  rising up to  $U_{RM} \leq 50 \text{ V}$ .
- taken into account for  $du_R/dt = 400 \text{ V}/\mu\text{s}$  rising up to  $U_{RM} = 0,67 U_{RRM}$ .

## Note:

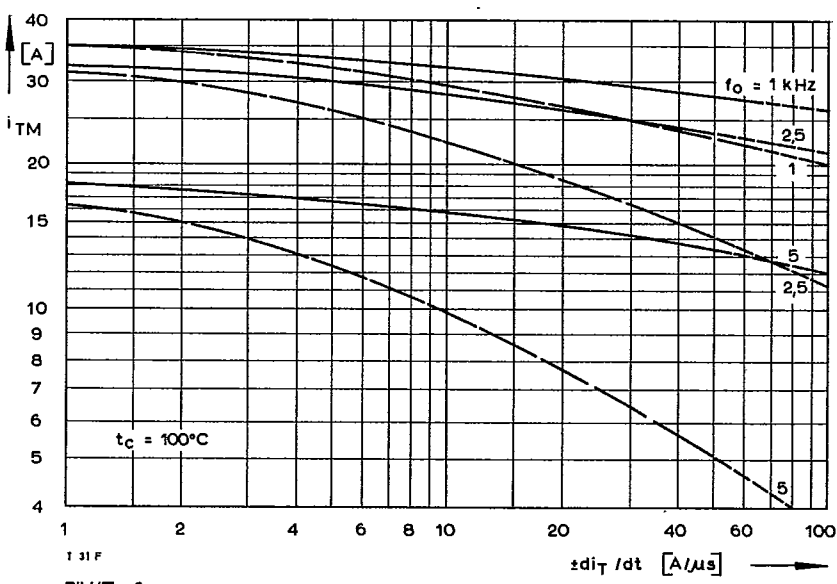
- for operation in the fine dashed range of the curves it is recommended to use additional suppression components.



Bild/Fig. 4



Bild/Fig. 5



Bild/Fig. 6

T31F A E G CORP

81 DE 0029426 0005807 9

Bild/Fig. 7

Diagramm zur Ermittlung der Summe aus Einschalt- und Durchlaßverlustleistung ( $P_{TT} + P_T$ ).  
 Diagram for the determination of the sum of the turn-on and forward on-state power loss ( $P_{TT} + P_T$ ).

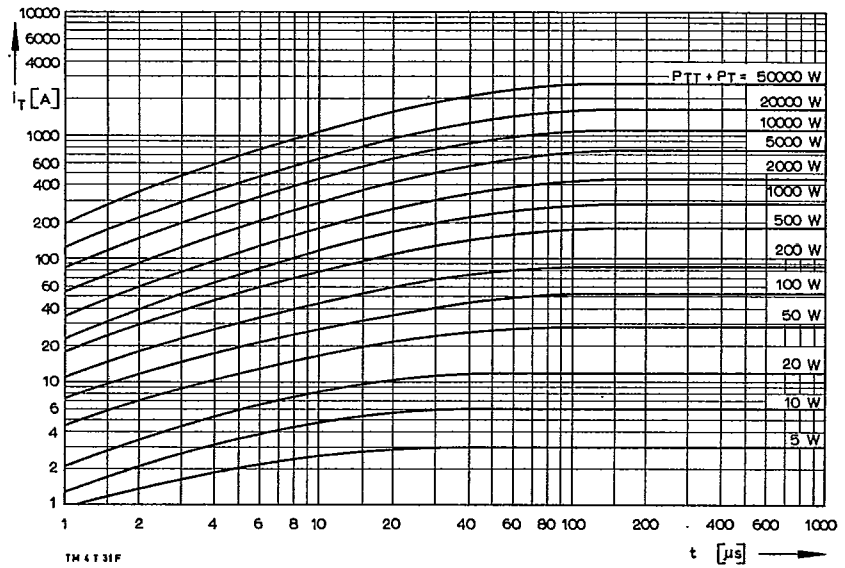


Bild 8

Diagramm zur Ermittlung der Gesamtenergie  $W_{tot}$  für einen sinusförmigen Durchlaßstrom-Puls bei:  
 Vorwärts-Sperrspannung  $u_{DM} \leq 0,67 U_{DRM}$ ,  
 Rückwärts-Sperrspannung  $u_{RM} \leq 50 V$ ,  
 Rückwärts-Spannungssteilheit  $du_R/dt \leq 100 V/\mu s$ ,  
 Steuergenerator:  $u_L = 10 V$ ,  $i_G = 0,75 A$ ,  $t_a = 1 \mu s$ ,  
 RC-Glied:  $R [\Omega] \geq 0,033 u_{DM} [V]$ ,  $C \leq 0,15 \mu F$

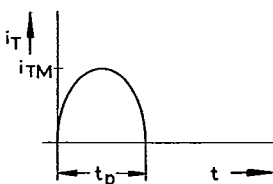
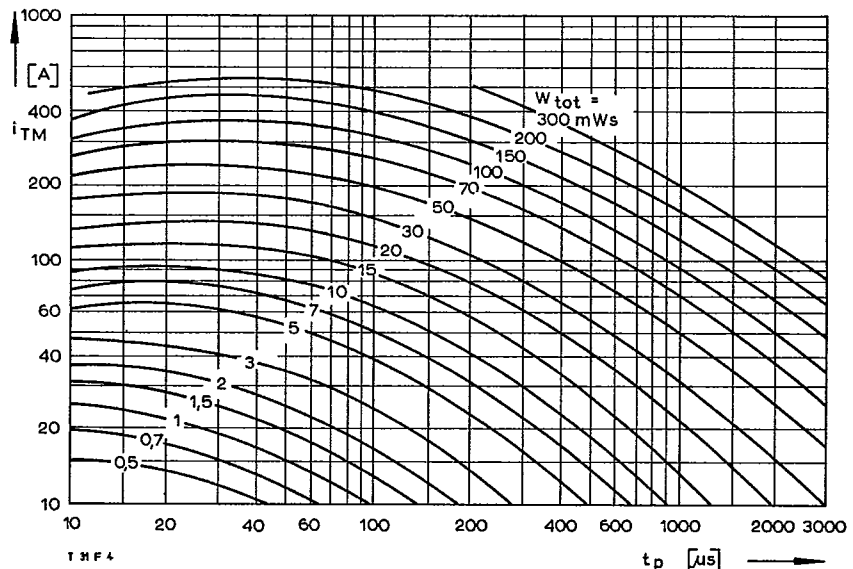
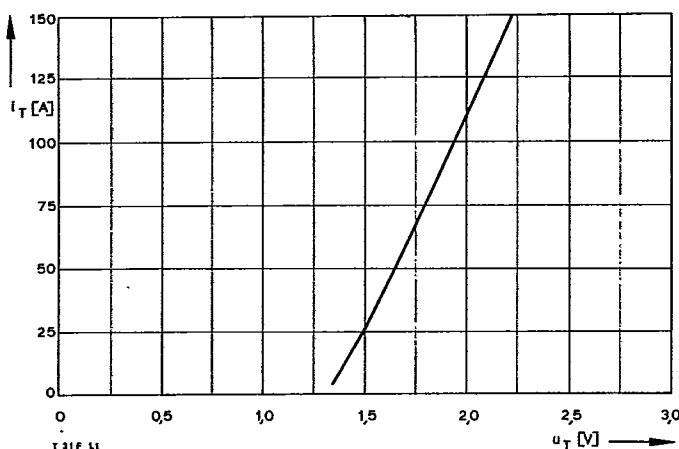


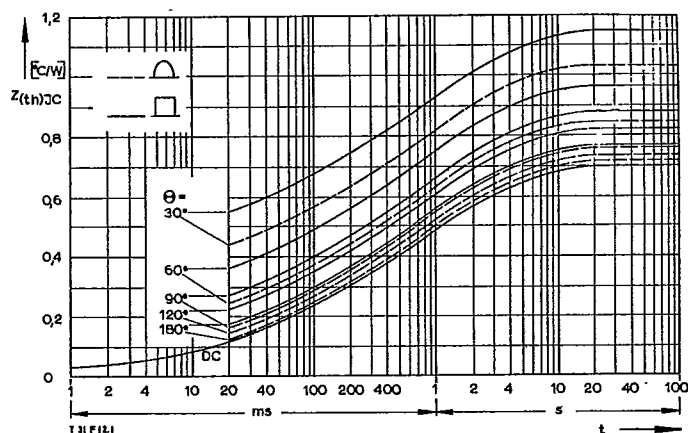
Fig. 8

Diagram for the determination of the total energy  $W_{tot}$  for a sinusoidal on-state current pulse at:  
 forward off-state voltage  $u_{DM} \leq 0,67 U_{DRM}$ ,  
 reverse voltage  $u_{RM} \leq 50 V$ ,  
 rate of rise of reverse voltage  $du_R/dt \leq 100 V/\mu s$ ,  
 pulse generator:  $u_L = 10 V$ ,  $i_G = 0,75 A$ ,  $t_a = 1 \mu s$ ,  
 RC network:  $R [\Omega] \geq 0,033 u_{DM} [V]$ ,  $C \leq 0,15 \mu F$

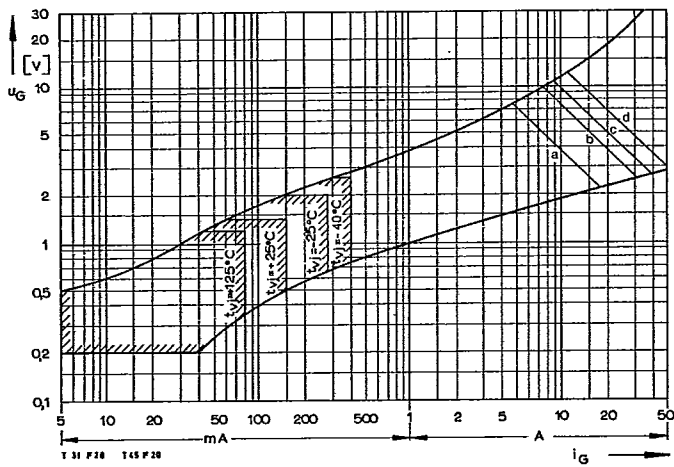




Bild/Fig. 9  
Grenzdurchlaßkennlinie bei  $t_{vj}$  max  
Maximum on-state characteristic at  $t_{vj}$  max

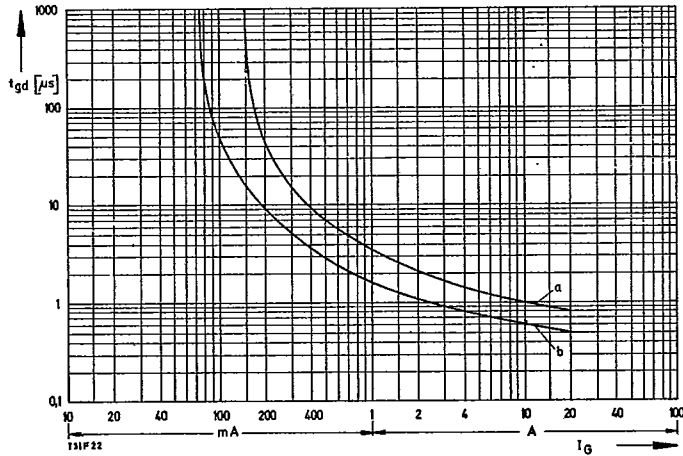


Bild/Fig. 10  
Transienter innerer Wärmewiderstand  $Z_{(th)JC}$  bei sinus- und trapezförmigem Stromverlauf.  
Transient thermal impedance  $Z_{(th)JC}$ , junction to case at sinusoidal and trapezoidal current waveform.

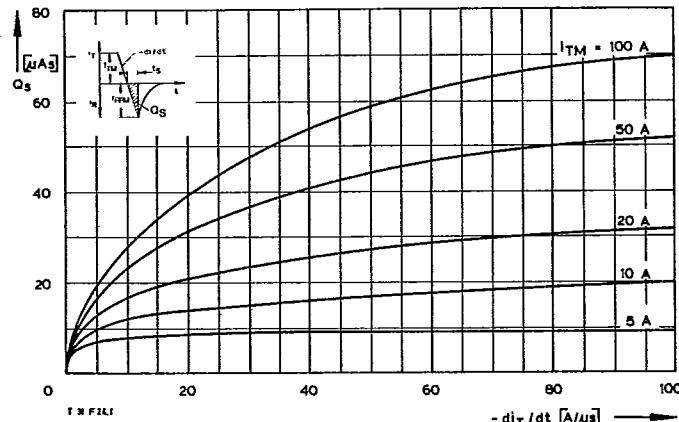


Bild/Fig. 11  
Zündbereich und Spitzesteuerleistung bei  $u_D \geq 6$  V.  
Gate characteristic and peak gate power dissipation at  $u_D \geq 6$  V.  
Parameter:  

	a	b	c	d	
Steuerimpulsdauer/Pulse duration $t_g$	[ms]	10	1	0,5	0,1
Höchstzulässige Spitzesteuerleistung/ Maximum allowable peak gate power	[W]	40	80	100	150



Bild/Fig. 12  
Zündverzug  $t_{gd}$  bei  $i_{TM} = 10$  A,  $t_{vj} = 25^\circ\text{C}$ .  
Gate controlled delay time  $t_{gd}$  at  $i_{TM} = 10$  A,  $t_{vj} = 25^\circ\text{C}$ .  
a – äußerster Verlauf/limiting characteristic  
b – typischer Verlauf/typical characteristic



Bild/Fig. 13  
Typische Abhängigkeit der oberen Nachlaufladung  $Q_s$  von der abkommenden Stromsteilheit  $-di/dt$  bei  $t_{vj}$  max.  
Typical relationship between the maximum lag charge  $Q_s$  and the rate of fall of the on-state current  $-di/dt$  at  $t_{vj}$  max.